
УДК 539.374

К РЕЛАКСАЦИИ НАПРЯЖЕНИЙ В ИЗОГНУТОЙ ВЯЗКОУПРУГОЙ РАЗНОСОПРОТИВЛЯЮЩЕЙСЯ ПЛАСТИНЕ

© 2023 г. Г. М. Севастьянов^{1,*}

¹Институт машиноведения и металлургии ХФИЦ ДВО РАН, Комсомольск-на-Амуре, Россия

*e-mail: akela.86@mail.ru

Поступила в редакцию 15.02.2023 г.

После доработки 05.06.2023 г.

Принята к публикации 15.07.2023 г.

В работе приведено замкнутое аналитическое решение задачи плоской деформации о релаксации напряжений в пластине, вязкие свойства которой различаются при растяжении и сжатии. Обратимые и необратимые деформации полагаются конечными. Используется линейно-вязкая модель на основе эквивалентного напряжения, которое является кусочно-линейной функцией главных напряжений с параметром разносопротивляемости. Обсуждаются характерные для этой модели особенности решения.

Ключевые слова: вязкоупругость, ползучесть, изгиб, разносопротивляемость

DOI: 10.31857/S0032823523050132, **EDN:** QPGCOZ

1. Введение. Механические свойства материалов могут заметно различаться при растяжении и сжатии. Упругие эффекты такого рода обсуждались в различных работах [1–7], для их описания были созданы специальные разномодульные теории упругости. Упомянем недавнее исследование, в котором такая теория строится для нелинейно-упругих материалов [8]. В теории пластичности также известны модели, способные учитывать асимметрию в поведении материала [9–11]. Описание материалов, для которых вязкие свойства различаются при сжатии и растяжении (см., например, [12–19]), может быть дано на основе специального выбора эквивалентного напряжения в потенциальных законах ползучести [20–22].

На рис. 1 приведена иллюстрация разносопротивляемости вязкой деформации растяжения и сжатия. Изображены диаграммы “скорость деформации–напряжение” для двух линейно-вязких материалов. Для каждого из них эффективные коэффициенты вязкости при сжатии и растяжении различаются в четыре раза, но для одного из них выше вязкость при сжатии, а для второго наоборот.

В недавнем исследовании [23] получены аналитические решения о релаксации напряжений в изогнутой в условиях плоской деформации пластине для двух линейно-вязких моделей разносопротивляющегося материала с гладкими потенциалами ползучести. В отличие от [23], здесь проведено исследование той же задачи для кусочно-линейного потенциала ползучести и обсуждаются качественные различия решений.

Статья организована следующим образом. В разд. 2 приведена постановка задачи. В разд. 3 приведены общие соотношения модели материала. В разд. 4 кратко изложено известное решение об упругом изгибе несжимаемой нелинейно-упругой пластины. В исследовании используется несжимаемая упругая модель Генки, как наиболее простая и, вместе с тем, корректно описывающая достаточно широкий спектр материалов

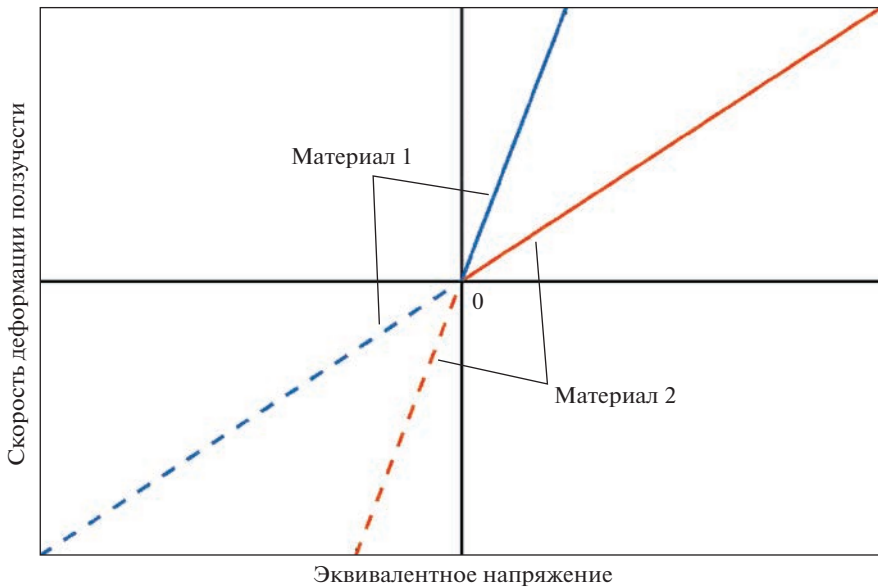


Рис. 1. Разносопротивляемость вязкой деформации сжатия/растяжения.

при умеренных упругих деформациях. Далее разносопротивляемость материала при чисто упругой деформации не учитывается, что позволяет сосредоточиться исключительно на вязких эффектах. В разд. 5 получено решение задачи релаксации пластины для тензорно-линейного закона ползучести материала с эквивалентным напряжением σ_{eq} , описывающим разносопротивляемость вязкой деформации. Это эквивалентное напряжение представляет собой кусочно-линейную функцию главных напряжений, в которую входит параметр материала, отвечающий за разносопротивляемость. Поверхность $\sigma_{eq} = \text{const}$ представляет собой шестигранник лежащий на гидростатической оси (для двух предельных значений параметра разносопротивляемости шестигранник вырождается в треугольную призму) [20–22]. Процесс релаксации напряжений в изогнутой пластине проходит в две стадии. На первой стадии напряженное состояние в той части изогнутой пластины, которая сжата в продольном направлении X_2 (см. рис. 2), соответствует одной из граней шестигранника, а напряженное состояние в точках растянутой части пластины соответствует противоположной грани шестигранника. В определенный момент времени напряженное состояние каждой точки пластины выходит на смежное с соответствующей гранью шестигранника ребро и начинается вторая стадия релаксации. В конце разд. 5 приведено замкнутое аналитическое решение для релаксации изгибающего момента. В разд. 6 обсуждаются свойства полученного решения в сравнении с другими моделями разносопротивляемости.

2. Постановка задачи. Прямоугольная пластина в недеформированном состоянии в декартовой системе координат $OX_1X_2X_3$ с базисными векторами e_1, e_2, e_3 ограничена неравенствами $0 \leq X_1 \leq H, -L/2 \leq X_2 \leq +L/2, -1/2 \leq X_3 \leq +1/2$ (рис. 2). К пластине приложен изгибающий момент M , вследствие чего пластина деформируется симметрично относительно плоскости OX_1X_3 . Деформированная пластина может быть описана в цилиндрической системе координат $Or\varphi z$ с базисными векторами e_r, e_φ, e_z .

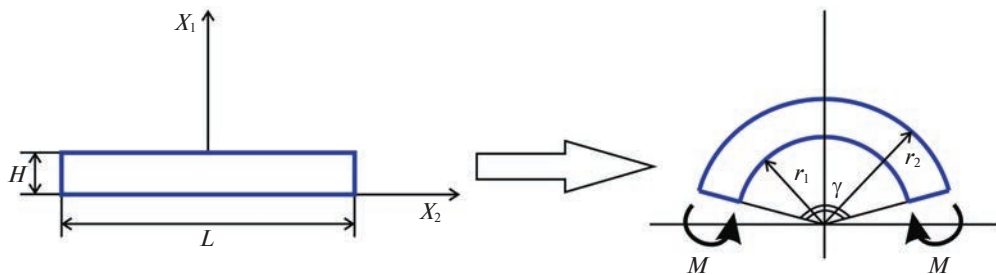


Рис. 2. Изгиб пластины в условиях плоской деформации.

Полагается, что изгиб происходит в условиях плоской деформации (для чего требуются ограничения на торцах пластины, находящихся в плоскости OX_1X_2). Активное нагружение полагается достаточно быстрым, чтобы можно было пренебречь действием вязких эффектов при деформировании.

Изогнутая пластина зафиксирована от перемещений и рассматривается процесс релаксации напряжений за счет вязких эффектов, в частности, определяется эволюция изгибающего момента.

3. Модель материала. Кинематика больших деформаций принимается в виде мультиплекативного разложения [24] тензора градиента деформации \mathbf{F} на обратимую (упругую) \mathbf{F}^e и необратимую (вязкую) \mathbf{F}^c составляющие

$$\mathbf{F} = \mathbf{F}^e \mathbf{F}^c \quad (3.1)$$

Ниже используется простейшая модель несжимаемого материала Генки с упругим законом

$$\boldsymbol{\sigma} = -p\mathbf{I} + 2\mu\mathbf{h}^e \quad \text{или} \quad \mathbf{s} = \boldsymbol{\sigma} - (1/3)\mathbf{I} \operatorname{tr} \boldsymbol{\sigma} = 2\mu\mathbf{h}^e \quad (3.2)$$

Здесь μ имеет тот же смысл, что модуль сдвига в линейной теории упругости; $\boldsymbol{\sigma}$ есть тензор напряжений Коши; \mathbf{I} есть единичный тензор; \mathbf{s} есть девиатор напряжений; $\mathbf{h}^e = \ln \mathbf{V}^e$ есть упругий логарифмический тензор деформации Генки, $(\mathbf{V}^e)^2 = \mathbf{B}^e = \mathbf{F}^e (\mathbf{F}^e)^T$, где \mathbf{B}^e есть упругий левый тензор деформации Коши–Грина, \mathbf{V}^e есть упругий левый (пространственный) тензор растяжений; учтено, что для несжимаемого материала $\operatorname{tr} \mathbf{h}^e = 0$; скалярная функция p вводится из-за ограничений несжимаемости.

Необратимая (вязкая) деформация материала описывается линейным законом ползучести вида

$$W = \frac{\sigma_{eq}^2}{2\eta}, \quad \mathbf{D}^c = \frac{\partial W}{\partial \boldsymbol{\sigma}} = \frac{dW}{d\sigma_{eq}} \frac{\partial \sigma_{eq}}{\partial \boldsymbol{\sigma}} = \frac{\sigma_{eq}}{\eta} \frac{\partial \sigma_{eq}}{\partial \boldsymbol{\sigma}} \quad (3.3)$$

Здесь $W = W(\sigma_{eq})$ есть потенциал ползучести; σ_{eq} есть эквивалентное напряжение; \mathbf{D}^c есть тензор скорости необратимой деформации; η есть коэффициент вязкости. Если положить $\sigma_{eq} = \sqrt{J_2}$, где $J_2 = (1/2) \operatorname{tr} \mathbf{s}^2$, или, альтернативно, $\sigma_{eq} = (\sigma_1 - \sigma_3)/2$, где σ_1 и σ_3 есть наибольшее и наименьшее главные напряжения, то получим обычную линейную вязкоупругую модель без разносопротивляемости растяжению/сжатию.

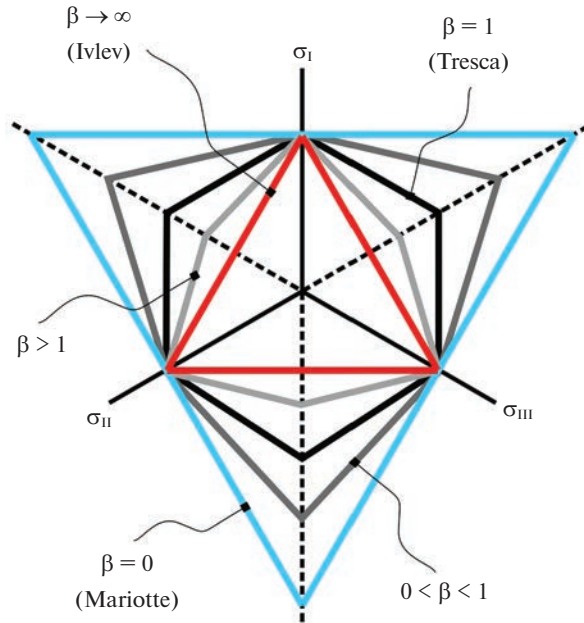


Рис. 3. Сечение девиаторной плоскостью поверхностей $\sigma_{\text{eq}} = \text{const}$ (формула (3.4)).

Будем использовать следующее определение эквивалентного напряжения [20–22]

$$\sigma_{\text{eq}} = \frac{3}{2} \frac{s_1 - \beta s_3}{2 + \beta} = \frac{1}{2} \left(\sigma_1 + \frac{-1 + \beta}{2 + \beta} \sigma_2 + \frac{-1 - 2\beta}{2 + \beta} \sigma_3 \right), \quad (3.4)$$

где параметр материала $\beta \geq 0$ отвечает за разносопротивляемость вязкой деформации, s_1 и s_3 есть наибольшее и наименьшее собственные значения девиатора напряжений \mathbf{s} . Сечения поверхностей $\sigma_{\text{eq}} = \text{const}$ девиаторной плоскостью при различных значениях параметра β изображены на рис. 3. При $\beta = 1$ эквивалентное напряжение $\sigma_{\text{eq}} = (s_1 - s_3)/2$ соответствует призме Треска (материал не проявляет разносопротивляемость). Предельным значениям параметра разносопротивляемости $\beta = 0$ и $\beta \rightarrow \infty$ соответствуют треугольные призмы Мариотта и Ивлева [25] с $\sigma_{\text{eq}} = 3s_1/4$ и $\sigma_{\text{eq}} = -3s_3/2$. Для этих предельных поверхностей эквивалентные напряжения при одноосных напряженных состояниях сжатия и растяжения одинаковой по модулю нагрузкой различаются в два раза (при $\beta = 0$ больше эквивалентное напряжение в случае растяжения, при $\beta \rightarrow \infty$ наоборот). Промежуточным значениям β соответствуют шестиугольные призмы.

Используемая модель с эквивалентным напряжением (3.4) описывает разносопротивляемость вязкой деформации. Действительно, при одноосном растяжении $\sigma_2 = \sigma_3 = 0$, $\sigma_1 = T > 0$, $s_1 = 2\sigma_1/3$, $s_2 = s_3 = -\sigma_1/3$. При одноосном сжатии $\sigma_1 = \sigma_2 = 0$, $\sigma_3 = T < 0$, $s_1 = s_2 = -\sigma_3/3$, $s_3 = 2\sigma_3/3$. Тогда по (3.4) при растяжении $\sigma_{\text{eq}} = T/2$ и скорость деформации ползучести в направлении действия растягивающей силы есть

$$D_{\text{tens}}^c = \frac{\sigma_{\text{eq}}}{\eta} \frac{\partial \sigma_{\text{eq}}}{\partial s_1} = \frac{\sigma_{\text{eq}}}{\eta} \left(\frac{\partial \sigma_{\text{eq}}}{\partial s_1} \frac{\partial s_1}{\partial \sigma_1} + \frac{\partial \sigma_{\text{eq}}}{\partial s_3} \frac{\partial s_3}{\partial \sigma_1} \right) = \frac{T}{4\eta},$$

а при сжатии $\sigma_{\text{eq}} = -\frac{1+2\beta}{2+\beta} \frac{T}{2} > 0$ и скорость деформации ползучести в направлении действия сжимающей силы есть

$$D_{\text{comp}}^c = \frac{\sigma_{\text{eq}}}{\eta} \frac{\partial \sigma_{\text{eq}}}{\partial s_3} = \frac{\sigma_{\text{eq}}}{\eta} \left(\frac{\partial \sigma_{\text{eq}}}{\partial s_1} \frac{\partial s_1}{\partial \sigma_3} + \frac{\partial \sigma_{\text{eq}}}{\partial s_3} \frac{\partial s_3}{\partial \sigma_3} \right) = \frac{T}{4\eta} \left(\frac{1+2\beta}{2+\beta} \right)^2$$

Здесь T есть нормальное напряжение на площадке, перпендикулярной направлению сжатия/растяжения; $T > 0$ для растяжения, $T < 0$ для сжатия.

Если $\beta = B > 1$, то скорости необратимой деформации при одноосном нагружении сжатия и растяжения одинаковой по модулю нагрузкой соотносятся как

$$\left| \frac{D_{\text{comp}}^c}{D_{\text{tens}}^c} \right| = \left(\frac{1+2B}{2+B} \right)^2 = A > 1$$

Если же $\beta = 1/B < 1$, то

$$\left| \frac{D_{\text{comp}}^c}{D_{\text{tens}}^c} \right| = \left(\frac{2+B}{1+2B} \right)^2 = \frac{1}{A} < 1$$

То есть, если для материала 2 на рис. 1 $\beta = B$, то для материала 1 $\beta = 1/B$. Учитывая, что $\beta \geq 0$, используемая модель способна описать разносопротивляемость вязкой деформации в ограниченном, хотя и достаточно широком, диапазоне: при $\beta = 0$ $|D_{\text{comp}}^c/D_{\text{tens}}^c| = 1/4$, при $\beta \rightarrow \infty$ $|D_{\text{comp}}^c/D_{\text{tens}}^c| = 4$.

4. Предварительная упругая деформация изгиба в несжимаемой нелинейно-упругой пластине. Кинематика изгиба в условиях плоской деформации описывается уравнениями [26–28]:

$$r = \sqrt{B + \frac{2X_1}{A}}, \quad \varphi = AX_2, \quad z = X_3$$

Внутренний и внешний радиусы кривизны изогнутой пластины могут быть выражены в виде

$$r_1 = \sqrt{B}, \quad r_2 = \sqrt{B + \frac{2H}{A}}, \quad A = \frac{\gamma}{L}, \quad B = \frac{1}{A^2} \left(\sqrt{1 + (AH)^2} - AH \right)$$

Здесь γ угол изгиба, L и H – длина и толщина пластины соответственно (см. рис. 2).

Кроме того, справедливо равенство $r_1 r_2 = A^{-2}$ [26].

Градиент деформации диагональный, $\mathbf{F} = (Ar)^{-1} \mathbf{e}_r \otimes \mathbf{e}_1 + Ar \mathbf{e}_\varphi \otimes \mathbf{e}_2 + \mathbf{e}_z \otimes \mathbf{e}_3$. Тензор деформации Генки также диагональный, имеет вид $\mathbf{h} = -\ln(Ar) \mathbf{e}_r \otimes \mathbf{e}_r + \ln(Ar) \mathbf{e}_\varphi \otimes \mathbf{e}_\varphi$.

Замечание. Поскольку градиент деформации \mathbf{F} в рассматриваемой задаче диагональный (в смешанном координатном базисе), то, полагая, что это свойство имеют также \mathbf{F}^e и \mathbf{F}^c , из (3.1) дифференцированием по времени можно получить

$$\dot{\mathbf{F}}^e (\mathbf{F}^e)^{-1} = \mathbf{D} - \mathbf{D}^c,$$

где $\mathbf{D} = \text{sym}(\dot{\mathbf{F}} \mathbf{F}^{-1})$, $\mathbf{D}^c = \text{sym}(\dot{\mathbf{F}}^c (\mathbf{F}^c)^{-1})$, $2 \text{sym}(\) = (\) + (\)^T$. Здесь точка над символом означает полную производную по времени.

С другой стороны, для диагональных \mathbf{F}^e и $\mathbf{h}^e = \ln \left[\mathbf{F}^e (\mathbf{F}^e)^T \right]^{1/2}$ верно, что

$$\dot{\mathbf{h}}^e = \dot{\mathbf{F}}^e (\mathbf{F}^e)^{-1}$$

Приравнивая последние формулы, имеем

$$\dot{\mathbf{h}}^e = \mathbf{D} - \mathbf{D}^c \quad (4.1)$$

Везде далее вместо формулы (3.1) будет использоваться (4.1).

Учитывая, что при чисто упругом деформировании $\mathbf{h}^e = \mathbf{h}$, имеем

$$s_{rr} = -s_{\phi\phi} = -2\mu \ln(Ar), \quad s_{zz} = 0 \quad (4.2)$$

Изгибающий момент на единицу длины в направлении $z = X_3$ есть

$$\begin{aligned} M &= \int_{r_1}^{r_2} \sigma_{\phi\phi} r dr = \int_{r_1}^{r_2} \sigma_{rr} r dr + 2\mu \int_{r_1}^{r_2} (h_{\phi\phi}^e - h_{rr}^e) r dr = \frac{1}{2} \underbrace{\left[r^2 \sigma_{rr} \right]_{r_1}^{r_2}}_0 - \\ &- \frac{1}{2} \int_{r_1}^{r_2} \frac{d\sigma_{rr}}{dr} r^2 dr + 2\mu \int_{r_1}^{r_2} (h_{\phi\phi}^e - h_{rr}^e) r dr = -\mu \int_{r_1}^{r_2} (h_{\phi\phi}^e - h_{rr}^e) r dr + \\ &+ 2\mu \int_{r_1}^{r_2} (h_{\phi\phi}^e - h_{rr}^e) r dr = \mu \int_{r_1}^{r_2} (h_{\phi\phi}^e - h_{rr}^e) r dr = \frac{1}{2} \int_{r_1}^{r_2} (s_{\phi\phi} - s_{rr}) r dr \end{aligned} \quad (4.3)$$

Здесь в первой строке использован упругий закон (3.2); во второй строке использовано интегрирование по частям и тот факт, что поверхности пластины свободны от напряжений, т.е. $\sigma_{rr}(r_1) = \sigma_{rr}(r_2) = 0$; в третьей строке использовано уравнение равновесия $r d\sigma_{rr}/dr = \sigma_{\phi\phi} - \sigma_{rr}$.

Формула (4.3) верна и при релаксации напряжений; релаксация изгибающего момента однозначно определяется изменением функции $(s_{\phi\phi} - s_{rr})$ во времени. Начальная величина изгибающего момента определяется по (4.3) с учетом упругого решения (4.2):

$$M_0 = 2\mu \int_{r_1}^{r_2} \ln(Ar) r dr$$

5. Релаксация напряжений в пластине

5.1. Начальный этап релаксации. С момента времени $t = 0$ начинается релаксация напряжений в пластине, которая приводит к снижению приложенного изгибающего момента. Поскольку материал полностью зафиксирован от перемещений, то в формуле (4.1) $\mathbf{D} = \mathbf{0}$, а полная производная по времени совпадает с частной производной:

$$\frac{\partial \mathbf{h}^e}{\partial t} = -\mathbf{D}^c$$

Используя упругий закон $\mathbf{s} = 2\mu \mathbf{h}^e$, можно записать предыдущее равенство в виде

$$\frac{\partial \mathbf{s}}{\partial t} = -2\mu \mathbf{D}^c \quad (5.1)$$

Согласно (4.2) в упруго изогнутой пластине в начальный момент времени во внутреннем слое ($r < 1/A$) $s_{rr} = s_1 > 0$, $s_{\phi\phi} = s_3 < 0$, $s_{zz} = s_2 = 0$. Во внешнем слое ($r > 1/A$) наоборот, $s_{rr} = s_3 < 0$, $s_{\phi\phi} = s_1 > 0$, $s_{zz} = s_2 = 0$. Тогда по (3.3) и (3.4) имеем следующие равенства для компонент скорости необратимой деформации.

Во внутреннем слое

$$D_{rr}^c = \frac{\sigma_{eq}}{2\eta} > 0, \quad D_{\phi\phi}^c = \frac{\sigma_{eq}}{2\eta} \frac{-1 - 2\beta}{2 + \beta} < 0, \quad D_{zz}^c = \frac{\sigma_{eq}}{2\eta} \frac{-1 + \beta}{\beta + 2} \quad (5.2)$$

Во внешнем слое

$$D_{rr}^c = \frac{\sigma_{eq}}{2\eta} \frac{-1 - 2\beta}{\beta + 2} < 0, \quad D_{\phi\phi}^c = \frac{\sigma_{eq}}{2\eta} \frac{2 + \beta}{\beta + 2} > 0, \quad D_{zz}^c = \frac{\sigma_{eq}}{2\eta} \frac{-1 + \beta}{\beta + 2} \quad (5.3)$$

Знак D_{zz}^c определяется величиной β : если $\beta > 1$, то $D_{zz}^c > 0$; если $0 \leq \beta < 1$, то $D_{zz}^c < 0$.

При этом поскольку $-1 - 2\beta < -1 + \beta < 2 + \beta$, то D_{zz}^c в любом случае является промежуточным главным значением тензора скорости необратимой деформации. Во внутреннем слое $D_{rr}^c = D_1^c$, $D_{\phi\phi}^c = D_3^c$; во внешнем слое наоборот, $D_{rr}^c = D_3^c$, $D_{\phi\phi}^c = D_1^c$. Здесь и далее D_1^c , D_3^c , D_2^c есть наибольшее, наименьшее и промежуточное главные значения тензора \mathbf{D}^c . Выражения (5.2) и (5.3) верны до тех пор, пока s_{zz} остается промежуточным главным значением девиатора напряжений. Пока это верно, координатное направление, соответствующее максимальному главному значению девиатора напряжений, совпадает с координатным направлением максимального главного значения тензора скорости необратимой деформации (и то же самое для минимальных главных значений). В этом случае из (5.1) с учетом (3.3) и (3.4) для произвольных чисел a и b можно получить

$$\frac{\partial (as_1 - bs_2 - cs_3)}{\partial t} = -2\mu \left(aD_1^c - bD_2^c - cD_3^c \right) = -\sigma_{eq} \frac{\mu}{\eta} \left(a + b \frac{1 - \beta}{2 + \beta} + c \frac{1 + 2\beta}{2 + \beta} \right) \quad (5.4)$$

Если в (5.4) выбрать $a = \frac{3}{2} \frac{1}{2 + \beta}$, $b = 0$ и $c = \frac{3}{2} \frac{\beta}{2 + \beta}$, то имеем

$$\frac{\partial \sigma_{eq}}{\partial t} = \frac{\partial}{\partial t} \left(\frac{3}{2} \frac{s_1 - \beta s_3}{2 + \beta} \right) = -\sigma_{eq} \frac{\mu}{\eta} \frac{3(1 + \beta + \beta^2)}{(2 + \beta)^2} \quad (5.5)$$

а если выбрать $a = 1$, $b = 0$ и $c = 1$, то можно получить

$$\frac{\partial (s_1 - s_3)}{\partial t} = -3\sigma_{eq} \frac{\mu}{\eta} \frac{1 + \beta}{2 + \beta} \quad (5.6)$$

Первое из этих уравнений есть обыкновенное дифференциальное уравнение с разделяющимися переменными, которое позволяет найти эволюцию эквивалентного напряжения (3.4):

$$\sigma_{eq} = \sigma_{eq}^0 e^{-\frac{3(1+\beta+\beta^2)\mu_t}{(2+\beta)^2\eta}}, \quad \sigma_{eq}^0(r) = 3\mu \frac{1 + \beta}{2 + \beta} |\ln(Ar)| \quad (5.7)$$

Здесь для определения константы интегрирования использовано начальное условие — распределение эквивалентного напряжения в начальный момент времени $\sigma_{eq}(r, 0) = \sigma_{eq}^0(r)$, которое определяется упругим решением (4.2).

Уравнение (5.6) удовлетворяется непосредственным интегрированием и позволяет найти разность $(s_1 - s_3)$ как функцию времени:

$$s_1 - s_3 = 4\mu \left\{ 1 + \frac{3}{4} \frac{(1 + \beta)^2}{1 + \beta + \beta^2} \left[e^{-\frac{3(1+\beta+\beta^2)\mu_t}{(2+\beta)^2\eta}} - 1 \right] \right\} |\ln(Ar)|$$

Начальное условие при этом также определяется упругим решением (4.2): в момент времени $t = 0$ разница максимального и минимального главных напряжений есть $4\mu|\ln(Ar)|$.

Во внутреннем слое ($r < 1/A$) $s_{\varphi\varphi} - s_{rr} = -(s_1 - s_3)$, во внешнем слое ($r > 1/A$) $s_{\varphi\varphi} - s_{rr} = s_1 - s_3$. Следовательно, по формуле (4.3) может быть найдена релаксация изгибающего момента:

$$\begin{aligned} M &= \frac{1}{2} \int_{\eta}^{r_2} (s_{\varphi\varphi} - s_{rr}) r dr = -\frac{1}{2} \int_{\eta}^{1/A} (s_1 - s_3) r dr + \frac{1}{2} \int_{1/A}^{r_2} (s_1 - s_3) r dr = \\ &= M_0 \left\{ 1 + \frac{3(1+\beta+\beta^2)\mu}{4(1+\beta+\beta^2)} \left[e^{-\frac{3(1+\beta+\beta^2)\mu t}{(2+\beta)^2\eta}} - 1 \right] \right\}, \end{aligned} \quad (5.8)$$

где $M_0 = 2\mu \int_{\eta}^{r_2} \ln(Ar) r dr$. Для материала без разноопротивляемости вязкой деформации ($\beta = 1$) формула выше принимает вид $M = M_0 e^{-\mu/\eta}$.

Далее нам потребуются также формулы, описывающие эволюцию величин $(s_1 - s_2)$ и $(s_1 - s_3)$. Из (5.4) при $a = 1, b = 1, c = 0$ и $a = 0, b = -1, c = 1$ с учетом (5.5) следует, что

$$\begin{aligned} \frac{\partial(s_1 - s_2)}{\partial t} &= -\frac{\mu}{\eta} \frac{3}{2+\beta} \sigma_{eq} = \frac{\partial\sigma_{eq}}{\partial t} \frac{2+\beta}{1+\beta+\beta^2} \\ \frac{\partial(s_2 - s_3)}{\partial t} &= -\frac{\mu}{\eta} \frac{3\beta}{2+\beta} \sigma_{eq} = \frac{\partial\sigma_{eq}}{\partial t} \frac{\beta(2+\beta)}{1+\beta+\beta^2} \end{aligned}$$

Интегрируя эти выражения с учетом (5.7) и начальных условий $(s_1 - s_2)|_{t=0} = (s_2 - s_3)|_{t=0} = 2\mu|\ln(Ar)| = \frac{2}{3} \frac{2+\beta}{1+\beta} \sigma_{eq}^0$, имеем

$$\begin{aligned} s_1 - s_2 &= \sigma_{eq}^0 \frac{2+\beta}{1+\beta+\beta^2} \left(e^{-\frac{3(1+\beta+\beta^2)\mu t}{(2+\beta)^2\eta}} - \frac{(1+2\beta)(1-\beta)}{3(1+\beta)} \right) \\ s_2 - s_3 &= \sigma_{eq}^0 \frac{\beta(2+\beta)}{1+\beta+\beta^2} \left(e^{-\frac{3(1+\beta+\beta^2)\mu t}{(2+\beta)^2\eta}} - \frac{(\beta+2)(\beta-1)}{3\beta(1+\beta)} \right) \end{aligned}$$

4.2. Конечный этап релаксации. Из формул выше следует, что если $\beta > 1$, то в момент времени

$$t^* = \frac{\eta}{\mu} \frac{(2+\beta)^2}{3(1+\beta+\beta^2)} \ln \frac{3\beta(1+\beta)}{(\beta+2)(\beta-1)}, \quad (5.9)$$

напряженное состояние выходит на ребро поверхности ползучести с $s_2 = s_3$; а если $0 \leq \beta < 1$, то в момент времени

$$t^* = \frac{\eta}{\mu} \frac{(2+\beta)^2}{3(1+\beta+\beta^2)} \ln \frac{3(1+\beta)}{(1+2\beta)(1-\beta)} \quad (5.10)$$

напряженное состояние выходит на ребро поверхности ползучести с $s_2 = s_1$. Причем это происходит одновременно во всех точках пластины.

После этого начинается второй этап релаксации. Изгибающий момент, соответствующий переходу во вторую стадию релаксации, может быть найден по формуле (5.8):

$$M^* = M(t^*) = \begin{cases} \frac{\beta - 1}{2\beta} M_0, & \beta > 1 \\ \frac{1 - \beta}{2} M_0, & 0 \leq \beta < 1 \end{cases} \quad (5.11)$$

На втором этапе релаксации, если $\beta > 1$, то $s_2 = s_3 = -s_1/2$ и

$$\frac{\partial s_1}{\partial t} = -2\mu D_1^c = -2\mu \frac{\sigma_{eq}}{\eta} \frac{\partial \sigma_{eq}}{\partial \sigma_1} = -\mu \frac{\sigma_{eq}}{\eta} = -\frac{3\mu}{4\eta} s_1$$

Здесь учтено, что в этом случае $\sigma_{eq} = 3s_1/4$. Интегрируя, имеем

$$s_1 = s_1|_{t=t^*} e^{-\frac{3\mu}{4\eta}(t-t^*)} = \frac{4}{3} \sigma_{eq}^* e^{-\frac{3\mu}{4\eta}(t-t^*)} = \frac{4(\beta+2)(\beta-1)}{9\beta(1+\beta)} \sigma_{eq}^0 e^{-\frac{3\mu}{4\eta}(t-t^*)}, \quad \sigma_{eq}^* = \sigma_{eq}(t^*)$$

И далее, во внутреннем слое ($r < 1/A$) $s_{\varphi\varphi} - s_{rr} = -(s_1 - s_3) = -3s_1/2$, а во внешнем слое ($r > 1/A$) $s_{\varphi\varphi} - s_{rr} = s_1 - s_3 = 3s_1/2$. По формуле (4.3):

$$\begin{aligned} M &= \frac{1}{2} \int_{r_1}^{r_2} (s_{\varphi\varphi} - s_{rr}) r dr = -\frac{3}{4} \int_{r_1}^{1/A} s_1 r dr + \frac{3}{4} \int_{1/A}^{r_2} s_1 r dr = \\ &= \frac{(\beta+2)(\beta-1)}{3\beta(1+\beta)} e^{-\frac{3\mu}{4\eta}(t-t^*)} \left(\int_{1/A}^{r_2} \sigma_{eq}^0 r dr - \int_{r_1}^{1/A} \sigma_{eq}^0 r dr \right) = \frac{\beta-1}{2\beta} e^{-\frac{3\mu}{4\eta}(t-t^*)} M_0 \end{aligned}$$

Если $0 \leq \beta < 1$, то на втором этапе релаксации $s_1 = s_2 = -s_3/2$ и

$$\frac{\partial s_3}{\partial t} = -2\mu D_3^c = -2\mu \frac{\sigma_{eq}}{\eta} \frac{\partial \sigma_{eq}}{\partial \sigma_3} = \frac{\mu}{\eta} \frac{1+2\beta}{2+2\beta} \sigma_{eq} = -\frac{3\mu}{4\eta} \left(\frac{1+2\beta}{2+2\beta} \right)^2 s_3$$

Здесь учтено, что $\sigma_{eq} = -\frac{3}{4} \frac{1+2\beta}{2+2\beta} s_3$. Интегрируя, имеем

$$\begin{aligned} s_3 = s_3|_{t=t^*} e^{-\frac{3\mu}{4\eta} \left(\frac{1+2\beta}{2+2\beta} \right)^2 (t-t^*)} &= -\frac{4}{3} \frac{2+\beta}{1+2\beta} \sigma_{eq}^* e^{-\frac{3\mu}{4\eta} \left(\frac{1+2\beta}{2+2\beta} \right)^2 (t-t^*)} = \\ &= -\frac{4}{9} \frac{(2+\beta)(1-\beta)}{1+\beta} \sigma_{eq}^0 e^{-\frac{3\mu}{4\eta} \left(\frac{1+2\beta}{2+2\beta} \right)^2 (t-t^*)} \end{aligned}$$

И далее, во внутреннем слое ($r < 1/A$) $s_{\varphi\varphi} - s_{rr} = -(s_1 - s_3) = 3s_3/2$, во внешнем слое ($r > 1/A$) $s_{\varphi\varphi} - s_{rr} = s_1 - s_3 = -3s_3/2$. По формуле (4.3):

$$\begin{aligned} M &= \frac{1}{2} \int_{r_1}^{r_2} (s_{\varphi\varphi} - s_{rr}) r dr = \frac{3}{4} \int_{r_1}^{1/A} s_3 r dr - \frac{3}{4} \int_{1/A}^{r_2} s_3 r dr = \\ &= \frac{(2+\beta)(1-\beta)}{3(1+\beta)} e^{-\frac{3\mu}{4\eta} \left(\frac{1+2\beta}{2+2\beta} \right)^2 (t-t^*)} \left(\int_{1/A}^{r_2} \sigma_{eq}^0 r dr - \int_{r_1}^{1/A} \sigma_{eq}^0 r dr \right) = \frac{1-\beta}{2} e^{-\frac{3\mu}{4\eta} \left(\frac{1+2\beta}{2+2\beta} \right)^2 (t-t^*)} M_0 \end{aligned}$$

Итак, эволюция изгибающего момента в процессе релаксации в целом описывается уравнениями:

– при $0 \leq \beta < 1$:

$$\frac{M}{M_0} = \begin{cases} 1 + \frac{3}{4} \frac{(1+\beta)^2}{1+\beta+\beta^2} \left[e^{-\frac{3(1+\beta+\beta^2)\mu_t}{(2+\beta)^2\eta}} - 1 \right], & t \leq t^* \\ \frac{1-\beta}{2} e^{-\frac{3\mu(1+2\beta)}{4\eta(2+\beta)}(t-t^*)}, & t \geq t^*, \end{cases} \quad (5.12)$$

где $t^* = \frac{\eta}{\mu} \frac{(2+\beta)^2}{3(1+\beta+\beta^2)} \ln \frac{3(1+\beta)}{(1+2\beta)(1-\beta)}$;

– при $\beta > 1$:

$$\frac{M}{M_0} = \begin{cases} 1 + \frac{3}{4} \frac{(1+\beta)^2}{1+\beta+\beta^2} \left[e^{-\frac{3(1+\beta+\beta^2)\mu_t}{(2+\beta)^2\eta}} - 1 \right], & t \leq t^* \\ \frac{\beta-1}{2\beta} e^{-\frac{3\mu(t-t^*)}{4\eta}}, & t \geq t^*, \end{cases} \quad (5.13)$$

где $t^* = \frac{\eta}{\mu} \frac{(2+\beta)^2}{3(1+\beta+\beta^2)} \ln \frac{3\beta(1+\beta)}{(\beta+2)(\beta-1)}$.

В частности, для предельных значений параметра разносопротивляемости:

– при $\beta = 0$:

$$\frac{M}{M_0} = \begin{cases} \frac{1}{4} + \frac{3}{4} e^{-\frac{3\mu_t}{4\eta}}, & t \leq \frac{4 \ln 3 \eta}{3 \mu} \\ \frac{3^{1/4}}{2} e^{-\frac{3\mu_t}{16\eta}}, & t \geq \frac{4 \ln 3 \eta}{3 \mu} \end{cases}$$

– при $\beta \rightarrow \infty$:

$$\frac{M}{M_0} = \begin{cases} \frac{1}{4} + \frac{3}{4} e^{-\frac{3\mu_t}{\eta}}, & t \leq \frac{\ln 3 \eta}{3 \mu} \\ \frac{3^{1/4}}{2} e^{-\frac{3\mu_t}{4\eta}}, & t \geq \frac{\ln 3 \eta}{3 \mu} \end{cases}$$

Траектория напряженного состояния в пространстве девиаторных напряжений изображена на рис. 4.

6. Обсуждение результатов. В [23] рассмотрены две линейно-вязкие модели, основанные на различном определении эквивалентного напряжения [9, 10]:

$$W = \frac{\sigma_{eq}^2}{2\eta_1}; \quad \sigma_{eq} = \left[J_2^{3/2} - \left(3\sqrt{3}/2 \right) \alpha J_3 \right]^{1/3}, \quad \alpha \in [-1, 1],$$

где $J_3 = \det \mathbf{s}$, α отвечает за ТСА (при $\alpha = 0$: $\sigma_{eq} = \sqrt{J_2}$); и

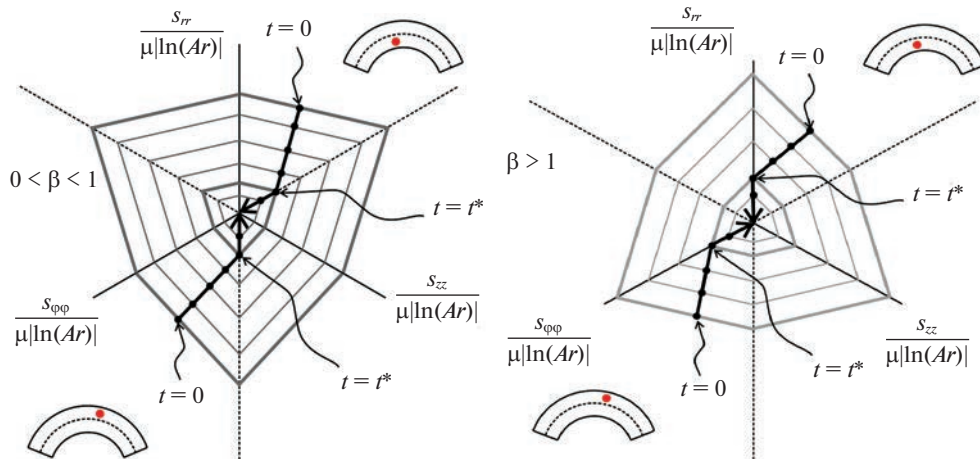


Рис. 4. Траектория напряженного состояния произвольной точки пластины. Слева для материала с $0 \leq \beta < 1$, справа для материала с $\beta > 1$. Верхняя траектория на каждом графике соответствует точкам пластины внутренней области $Ar < 1$, нижняя – точкам внешней области $Ar > 1$ (точки на нейтральной поверхности $Ar = 1$ свободны от напряжений).

$$W = \frac{\sigma_{\text{eq}}^2}{2\eta_2}, \quad \sigma_{\text{eq}} = \sqrt{\frac{1}{2} \left(n_1 s_1^2 + n_2 s_2^2 + n_3 s_3^2 \right)}, \quad n_k = \begin{cases} n^+, & s_i \geq 0; \\ n^-, & s_i < 0 \end{cases}; \quad i = 1, 2, 3$$

$$n^+ = (1 - k)^2, \quad n^- = (1 + k)^2; \quad k \in [-1, 1],$$

где s_1, s_2, s_3 есть упорядоченные по убыванию главные значения девиатора напряжений.

При одноосном нагружении сжатия или растяжения скорость деформации ползучести в направлении действия силы для первой модели описывается равенствами

$$D_{\text{tens}}^c = \frac{T}{3\eta_1} (1 - \alpha)^{2/3}, \quad D_{\text{comp}}^c = \frac{T}{3\eta_1} (1 + \alpha)^{2/3}$$

Для второй модели

$$D_{\text{tens}}^c = \frac{2n^+ + n^-}{9\eta_2} T, \quad D_{\text{comp}}^c = \frac{n^+ + 2n^-}{9\eta_2} T$$

Здесь T есть нормальное напряжение на площадке, перпендикулярной направлению сжатия/растяжения; $T > 0$ для растяжения, $T < 0$ для сжатия.

Отсюда очевидно, что два материала, схематично изображенные на рис. 1, при описании с помощью первой из этих моделей различаются только знаком параметра α , а при описании с помощью второй модели – знаком параметра k .

Релаксация изгибающего момента пластины по первой модели определяется в параметрическом виде [23]

$$\frac{M}{M_0} = \exp \left\{ -\frac{1}{\sqrt{6}\alpha} \int_0^0 \frac{1 + \sqrt{6}\alpha\xi}{1/3 - (5/2)\xi^2 + 3\xi^4} d\xi \right\}$$

$$\frac{\mu t}{\eta_1} = \frac{1}{\sqrt{6}\alpha} \int_0^0 \frac{\sqrt[3]{1 + 3\sqrt{6}\alpha\xi(1/2 - \xi^2)}}{1/3 - (5/2)\xi^2 + 3\xi^4} d\xi,$$

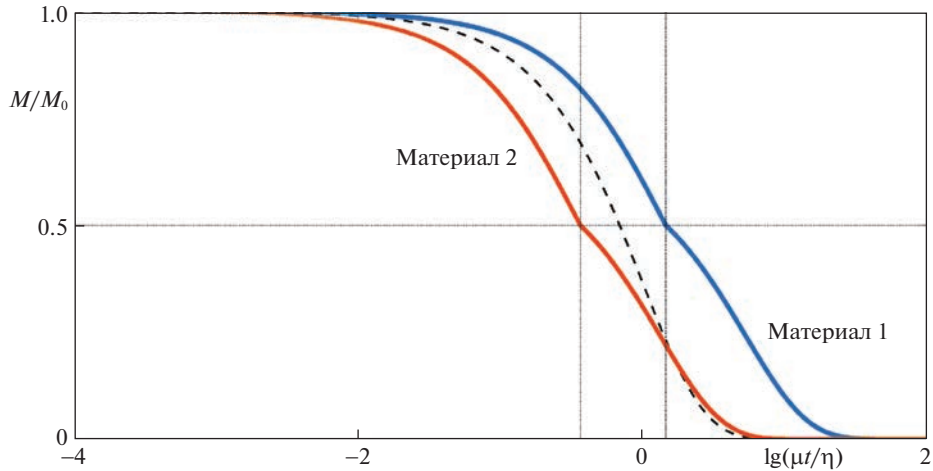


Рис. 5. Релаксация изгибающего момента M в пластине. Линейная модель с разносопротивляемостью вязкой деформации (3.3), (3.4); решение по формулам (5.12), (5.13). Параметры материалов: для материала 1 $\beta = 0$, для материала 2 $\beta \rightarrow \infty$. Пунктирная линия соответствует решению для материала без разносопротивляемости $M/M_0 = e^{-\mu t/\eta}$. Вертикальные линии соответствуют моментам времени t^* перехода между этапами релаксации (формулы (5.9) и (5.10)), когда напряженное состояние выходит на ребро функции ползучести; горизонтальная линия соответствует значениям M в эти моменты времени (формула (5.11)).

где M_0 есть начальный изгибающий момент, γ параметр решения, противоположный по знаку с α , t время, μ модуль сдвига. При $\alpha = 0$ (для материала без ТСА) формулы выше приводят к выражению $M/M_0 = e^{-\mu t/\eta_1}$.

Для второй модели в явном виде [23]

$$\frac{M}{M_0} = \frac{1}{4} \exp \left\{ -n_{\text{sup}} \frac{\mu t}{\eta_2} \right\} + \frac{3}{4} \exp \left\{ -\frac{n_{\text{sup}} + 2n_{\text{inf}}}{3} \frac{\mu t}{\eta_2} \right\}$$

$$n_{\text{sup}} = \max \{ n^+, n^- \}, \quad n_{\text{inf}} = \min \{ n^+, n^- \}$$

Здесь для материала без ТСА $n^+ = n^- = 1$ и так же $M/M_0 = e^{-\mu t/\eta_2}$.

Оба решения имеют одну особенность: они прогнозируют идентичную релаксацию для, вообще говоря, разных материалов, схематично представленных на рис. 1. То есть для этих решений имеет значение, во сколько раз различается эффективная вязкость материала при растяжении и сжатии, но не имеет значения, какая из них больше, а какая меньше [23]. Эту особенность непросто проверить экспериментально, поскольку для этого нужны два материала с одинаковым упругим модулем, вязкая деформация которых соответствует схеме на рис. 1. Тем не менее, такое поведение решений кажется достаточно странным.

В отличие от них, полученное в предыдущем разделе решение прогнозирует разную релаксацию для этих материалов. Графики релаксации изгибающего момента, рассчитанные по формулам (5.12), (5.13) для обоих материалов, приведены на рис. 5.

Рассматриваемая модель прогнозирует, что в материале 1 (см. рис. 1), для которого сопротивление вязкой деформации растяжения ниже, чем деформации сжатия (скорость деформации при растяжении выше, чем при сжатии, при одинаковой по модулю нагрузке), релаксация изгибающего момента происходит медленнее, чем в материале 2.

На обоих графиках (см. рис. 5) прослеживаются точки перегиба, соответствующие переходу между этапами релаксации, в которых напряженное состояние пластины выходит на ребро кусочно-линейной функции ползучести.

Поскольку линейно-вязкая модель, вообще говоря, только приближенно описывает поведение реальных материалов, на практике часто используется обобщенная вязкоупругая модель Максвелла (см., например, [29, 30]). Эта модель представляет собой параллельно соединенные линейно-вязкие элементы с разными свойствами. В каждом таком элементе общая деформация одна и та же, а общее напряжение в системе есть сумма напряжений в каждой ветви. Полученные здесь решения (5.12) и (5.13) могут рассматриваться как решения в каждой ветви обобщенной модели Максвелла, учитывающей разносопротивляемость вязкому деформированию.

Исследование выполнено в рамках государственного задания ИМиМ ДВО РАН.

СПИСОК ЛИТЕРАТУРЫ

1. Амбарцумян С.А., Хачатрян А.А. Основные уравнения теории упругости для материалов, разносопротивляющихся растяжению и сжатию // Инж. ж. МТТ. 1966. № 2. С. 44–53.
2. Шапиро Г.С. О деформациях тел, обладающих различным сопротивлением растяжению и сжатию // Инж. ж.: МТТ. 1966. № 2. С. 123–125.
3. Амбарцумян С.А., Хачатрян А.А. К разномодульной теории упругости // Инж. ж. МТТ. 1966. № 6. С. 64–67.
4. Маслов В.П., Мосолов П.П. Общая теория решения уравнений движения разномодульной упругой среды // ПММ. 1985. Т. 49, Вып. 3. С. 419–437.
5. Мясников В.П., Олейников А.И. Основные общие соотношения модели изотропно-упругой разносопротивляющейся среды // Докл. АН СССР. 1992. Т. 322. № 1. С. 44–53.
6. Олейников А.И., Могильников Е.В. Единственность решения краевых задач и устойчивость для разномодульного нелинейного материала // Дальневост. матем. ж. 2002. Т. 3. № 2. С. 242–253.
7. Tsvelodub I.Yu. Multimodulus elasticity theory // J. Appl. Mech.&Tech. Phys. 2008. V. 49. P. 129–135. <https://doi.org/10.1007/s10808-008-0019-1>
8. Du Z., Zhang G., Guo T., Tang Sh., Guo X. Tension-compression asymmetry at finite strains: A theoretical model and exact solutions // J. Mech.&Phys. Solids. 2020. V. 143. Art. no. 104084. <https://doi.org/10.1016/j.jmps.2020.104084>
9. Cazacu O., Barlat F. A criterion for description of anisotropy and yield differential effects in pressure-insensitive metals // Int. J. Plasticity. 2004. V. 20(11). P. 2027–2045. <https://doi.org/10.1016/j.ijplas.2003.11.021>
10. Cazacu O., Plunkett B., Barlat F. Orthotropic yield criterion for hexagonal closed packed metals // Int. J. Plasticity. 2006. V. 22(7). P. 1171–1194. <https://doi.org/10.1016/j.ijplas.2005.06.001>
11. Cazacu O., Revil-Baudard B. Tension-compression asymmetry effects on the plastic response in bending: new theoretical and numerical results // Mech. Res. Commun. 2021. V. 114. Art. no. 103596. <https://doi.org/10.1016/j.mechrescom.2020.103596>
12. Pirnia F. Experimental Analyses on XLPE under Tension and Compression / Master's Degree Thesis. Dep. Mech. Engng., Blekinge Institute of Technology, Karlskrona, Sweden. 2014.
13. Guo Y., Liu G., Huang Y. A complemented multiaxial creep constitutive model for materials with different properties in tension and compression // Europ. J. Mech. A/Solids. 2022. V. 93. Art. no. 104510. <https://doi.org/10.1016/j.euromechsol.2022.104510>
14. Zolochevsky A., Voyiadjis G.Z. Theory of creep deformation with kinematic hardening for materials with different properties in tension and compression // Int. J. Plasticity. 2005. V. 21(3). P. 435–462. <https://doi.org/10.1016/j.ijplas.2003.12.007>
15. Banshchikova I.A. Construction of constitutive equations for orthotropic materials with different properties in tension and compression under creep conditions // J. Appl. Mech.&Tech. Phys. 2020. V. 61. P. 87–100. <https://doi.org/10.1134/S0021894420010101>
16. Al'tenbakh Kh.I., Zolochevskii A.A. Energy version of creep and stress-rupture strength theory for anisotropic and isotropic materials which differ in resistance to tension and compression // J. Appl. Mech.&Tech. Phys. 1992. V. 33. P. 101–106. <https://doi.org/10.1007/BF00864514>

17. Goren B.V., Rubanov V.V., Sosnin O.V. Construction of the creep equations for materials with different extension and compression properties // J. Appl. Mech.&Tech. Phys. 1979. V. 20(4). P. 487–492. <https://doi.org/10.1007/BF00905605>
18. Teixeira L., Gillibert J., Sayet T., Blond E. A creep model with different properties under tension and compression: Applications to refractory materials // Int. J. Mech. Sci. 2021. V. 212. Art. no. 106810. <https://doi.org/10.1016/j.ijmecsci.2021.106810>
19. Коробейников С.Н., Олейников А.И., Горев Б.В., Бормотин К.С. Математическое моделирование процессов ползучести металлических изделий из материалов, имеющих разные свойства при растяжении и сжатии // Вычисл. методы и програм. 2008. Т. 9. С. 346–365.
20. Быковцев Г.И., Ярушина В.М. Об особенностях модели неустановившейся ползучести, основанной на использовании кусочно-линейных потенциалов // В сб.: Проблемы механики сплошных сред и элементов конструкций (к 60-летию со дня рожд. проф. Г.И. Быковцева). Владивосток: Дальнаука, 1998. С. 9–26.
21. Буренин А.А., Ярушина В.М. К моделированию деформирования материалов, по-разному сопротивляющихся растяжению и сжатию // В сб.: Проблемы механики деформируемых твердых тел и горных пород. Сборник статей к 75-летию Е.И. Шемякина / Ред. Ивлев Д.Д., Морозов Н.Ф.. М.: Физматлит, 2006. С. 100–106.
22. Ярушина В.М. К моделированию ползучести разносопротивляющихся материалов // Докл. РАН. 2005. Т. 403. № 2. С. 198–200.
23. Севастьянов Г.М., Бормотин К.С. Релаксация напряжений в изогнутой вязкоупругой пластине с различными свойствами при сжатии и растяжении // ПМТФ. 2023. (в печати)
24. Sidoroff F. Un modele viscoelastique non lineaire avec configuration intermediate // J. de Mécanique. 1974. V. 13(4). P. 679–713.
25. Ивлев Д.Д. К теории разрушения твердых тел // ПММ. 1959 Т. 23. № 3. С. 618–624.
26. Rivlin R. Large elastic deformations of isotropic materials – V: The problem of flexure // Proc. Roy. Soc. London. Ser. A. Math.&Phys. Sci. 1949. V. 195. P. 463–473. <https://doi.org/10.1098/rspa.1949.0004>
27. Destrade M., Murphy J.G., Rashid B. Differences in tension and compression in the nonlinearly elastic bending of beams // Int. J. Struct. Changes in Solids – Mech.&Appl. 2009. V. 1(1). P. 73–81.
28. Destrade M., Gilchrist M.D., Motherway J.A., Murphy J.G. Bimodular rubber buckles early in bending // Mech. Mater. 2010. V. 42(4). P. 469–476. <https://doi.org/10.1016/j.mechmat.2009.11.018>
29. Ghobady E., Shutov A., Steeb H. Parameter identification and validation of shape-memory polymers within the framework of finite strain viscoelasticity // Materials (Basel). 2021. V. 14(8). 2049. <https://doi.org/10.3390/ma14082049>
30. Sevastyanov G.M. Creep relaxation in nonlinear viscoelastic twisted rods // ZAMM. 2022. e202100552. <https://doi.org/10.1002/zamm.202100552>

Stress Relaxation in Bended Viscoelastic Plate with Tension-Compression Asymmetry

G. M. Sevastyanov^{a,*}

^aInstitute of Machinery and Metallurgy KhFRC FEB RAS, Komsomolsk-on-Amure, Russia

*e-mail: akela.86@mail.ru

The paper presents closed-form analytical solution to the plane-strain problem of stress relaxation in a bended plate with tension-compression asymmetry (TCA) in viscous properties. Reversible and irreversible strains are assumed to be finite. We utilize a linear viscous model with equivalent stress that is piecewise linear function of the principal stresses with TCA parameter. The specific features of the solution are discussed.

Keywords: viscoelasticity, creep, bending, tension-compression asymmetry

REFERENCES

1. Ambartsumyan S.A., Khachatryan A.A. Basic equations of the theory of elasticity for materials having different elastic moduli in tension and compression // Engng. J.: Mech. Solids, 1966, no. 2, pp. 44–53. (in Russian)
2. Shapiro G.S. On deformations of solids with different elastic moduli in tension and compression // Engng. J.: Mech. Solids, 1966, no. 2, pp. 123–125. (in Russian)
3. Ambartsumyan S.A., Khachatryan A.A. On bimodular elasticity theory // Engng. J.: Mech. Solids, 1966, no. 6, pp. 64–67. (in Russian)
4. Maslov V.P., Mosolov P.P. General theory of the equations of motion of an elastic medium of different moduli // JAMM, 1985, vol. 49, no. 3, pp. 322–336. [https://doi.org/10.1016/0021-8928\(85\)90031-0](https://doi.org/10.1016/0021-8928(85)90031-0)
5. Myasnikov V.P., Oleinikov A.I. Fundamental general relationships for a model of an isotropically elastic heteromodular medium // Dokl. Phys., 1992, vol. 322, no. 1, pp. 44–53. (in Russian)
6. Oleinikov A.I., Mogilnikov E.V. Uniqueness and stability of the solutions for boundary value problems for bimodular nonlinear materials // Far Eastern Math. J., 2002, vol. 3, no. 2, pp. 242–253. (in Russian)
7. Tsvetodub I.Yu. Multimodulus elasticity theory // J. Appl. Mech.&Tech. Phys., 2008, vol. 49, pp. 129–135. <https://doi.org/10.1007/s10808-008-0019-1>
8. Du Z., Zhang G., Guo T., Tang Sh., Guo X. Tension-compression asymmetry at finite strains: A theoretical model and exact solutions // J. Mech.&Phys. Solids, 2020, vol. 143, art. no. 104084. <https://doi.org/10.1016/j.jmps.2020.104084>
9. Cazacu O., Barlat F. A criterion for description of anisotropy and yield differential effects in pressure-insensitive metals // Int. J. Plasticity, 2004, vol. 20(11), pp. 2027–2045. <https://doi.org/10.1016/j.ijplas.2003.11.021>
10. Cazacu O., Plunkett B., Barlat F. Orthotropic yield criterion for hexagonal closed packed metals // Int. J. Plasticity, 2006, vol. 22(7), pp. 1171–1194. <https://doi.org/10.1016/j.ijplas.2005.06.001>
11. Cazacu O., Revil-Baudard B. Tension-compression asymmetry effects on the plastic response in bending: new theoretical and numerical results // Mech. Res. Commun., 2021, vol. 114, art. no. 103596. <https://doi.org/10.1016/j.mechrescom.2020.103596>
12. Pirnia F. Experimental Analyses on XLPE under Tension and Compression / Master's Degree Thesis. Dep. Mech. Engng., Blekinge Institute of Technology, Karlskrona, Sweden. 2014.
13. Guo Y., Liu G., Huang Y. A complemented multiaxial creep constitutive model for materials with different properties in tension and compression // Europ. J. Mech. A/Solids, 2022, vol. 93, art. no. 104510. <https://doi.org/10.1016/j.euromechsol.2022.104510>
14. Zolochevsky A., Voyiadis G.Z. Theory of creep deformation with kinematic hardening for materials with different properties in tension and compression // Int. J. Plasticity, 2005, vol. 21(3), pp. 435–462. <https://doi.org/10.1016/j.ijplas.2003.12.007>
15. Banshchikova I.A. Construction of constitutive equations for orthotropic materials with different properties in tension and compression under creep conditions // J. Appl. Mech.&Tech. Phys., 2020, vol. 61, pp. 87–100. <https://doi.org/10.1134/S0021894420010101>
16. Al'tenbakh Kh.I., Zolochevskii A.A. Energy version of creep and stress-rupture strength theory for anisotropic and isotropic materials which differ in resistance to tension and compression // J. Appl. Mech.&Tech. Phys., 1992, vol. 33, pp. 101–106. <https://doi.org/10.1007/BF00864514>
17. Gorev B.V., Rubanov V.V., Sosnin O.V. Construction of the creep equations for materials with different extension and compression properties // J. Appl. Mech.&Tech. Phys., 1979, vol. 20(4), pp. 487–492. <https://doi.org/10.1007/BF00905605>
18. Teixeira L., Gillibert J., Sayet T., Blond E. A creep model with different properties under tension and compression: Applications to refractory materials // Int. J. Mech. Sci., 2021, vol. 212, art. no. 106810. <https://doi.org/10.1016/j.ijmecsci.2021.106810>
19. Korobeinikov S.N., Oleinikov A.I., Gorev B.V., Bormotin K.S. Mathematical simulation of creep processes in metal products made of materials with different properties in tension and compression // Comput. Meths.&Progr., 2008, vol. 9, pp. 346–365. (in Russian)
20. Bykovtsev G.I., Yarushina V.M. On the features of the unsteady creep model based on the use of piecewise linear potentials // In: Problems of Mechanics of Continuous Media and Structural Elements (to the 60th Anniversary of Prof. G.I. Bykovtsev). Vladivostok, Dalnauka, 1998. pp. 9–26. (in Russian)

21. *Burenin A.A., Yarushina V.M.* On modeling the deformation of materials with different properties in tension and compression // In: Problems of Mechanics of Deformable Solids and Rocks. Collection of articles dedicated to the 75th anniversary of E.I. Shemyakin / Ed. by: *Ivlev D.D., Morozov N.F.* Moscow: Fizmatlit, 2006. pp. 100–106. (in Russian)
22. *Yarushina V.M.* Simulation of the creep of materials with different strengths // Dokl. Phys., 2005, vol. 50, no. 7, pp. 385–387. <https://doi.org/10.1134/1.2005366>
23. *Sevastyanov G.M., Bormotin K.S.* Stress relaxation in bended viscoelastic plate with tension-compression asymmetry // J. Appl. Mech.&Tech. Phys., 2023. (in Press).
24. *Sidoroff F.* Un modele viscoelastique non lineaire avec configuration intermédiaire // J. de Mécanique, 1974, vol. 13(4), pp. 679–713.
25. *Ivlev D.D.* The theory of fracture of solids // JAMM, 1959, vol. 23, no. 3, pp. 884–895. [https://doi.org/10.1016/0021-8928\(59\)90185-6](https://doi.org/10.1016/0021-8928(59)90185-6)
26. *Rivlin R.* Large elastic deformations of isotropic materials – V: The problem of flexure // Proc. Roy. Soc. London. Ser. A. Math.&Phys. Sci., 1949, vol. 195, pp. 463–473. <https://doi.org/10.1098/rspa.1949.0004>
27. *Destrade M., Murphy J.G., Rashid B.* Differences in tension and compression in the nonlinearly elastic bending of beams // Int. J. Struct. Changes in Solids – Mech.&Appl., 2009, vol. 1(1), pp. 73–81.
28. *Destrade M., Gilchrist M.D., Motherway J.A., Murphy J.G.* Bimodular rubber buckles early in bending // Mech. Mater., 2010, vol. 42(4), pp. 469–476. <https://doi.org/10.1016/j.mechmat.2009.11.018>
29. *Ghobady E., Shutov A., Steeb H.* Parameter identification and validation of shape-memory polymers within the framework of finite strain viscoelasticity // Materials (Basel), 2021, vol. 14(8), 2049. <https://doi.org/10.3390/ma14082049>
30. *Sevastyanov G.M.* Creep relaxation in nonlinear viscoelastic twisted rods // ZAMM. 2022. e202100552. <https://doi.org/10.1002/zamm.202100552>